

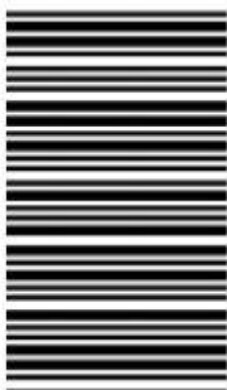
261

F

نام:

نام خانوادگی:

محل امضا:



261F

صبح جمعه

۹۳/۱۲/۱۵

دفترچه شماره ۱۱ از ۲



اگر دانشگاه اصلاح شود مملکت اصلاح می‌شود.

امام خمینی (ره)

جمهوری اسلامی ایران  
وزارت علوم، تحقیقات و فناوری  
سازمان سنجش آموزش کشور

## آزمون ورودی دوره‌های دکتری (نیمه مرکز) داخل - سال ۱۳۹۴

### مهندسی عمران نقشه‌برداری - سنجش از دور (کد ۲۳۱۹)

مدت پاسخگویی: ۱۵۰ دقیقه

تعداد سؤال: ۴۵

عنوان مواد امتحانی، تعداد و شماره سوالات

ردیف	مواد امتحانی	تعداد سؤال	از شماره	تا شماره
۱	مجموعه دروس تخصصی (فتوگرامتری و رئودزی، پردازش رقومی تصاویر سنجش از دور، کاربردهای سنجش از دور)	۴۵	۱	۴۵

این آزمون نمره منفی دارد.

استفاده از ماشین حساب مجاز نیست.

اسفند ماه - سال ۱۳۹۳

حق حاب، تکنر و انتشار سوالات به هر روش (الکترونیکی و ...) بس از برگزاری آزمون، برای تمامی اشخاص حقیقی و حقوقی تنها با مجوز این سازمان مجاز می‌باشد و با مخالفین برای مفروضات رفتار می‌شود.

-۱ پارامترهای مجهول در حل مسئله ترقيق و تقاطع فضایی به ترتیب کدام‌اند؟

- (۱) ۶ مجهول توجیه داخلی - ۶ مجهول توجیه نسبی
- (۲) ۶ مجهول توجیه مطلق - مختصات در سیستم عکس
- (۳) ۶ مجهول توجیه نسبی - مختصات در سیستم زمین
- (۴) ۶ مجهول توجیه خارجی - ۶ مجهول توجیه داخلی

-۲ در برآورد دقت ارتفاعی یک پروژه فتوگرامتری کدام رابطه درست است؟

$$\sigma_{H'}^2 = \sigma_H^2 + \sigma_{(نقاط زمینی)}^2 + \sigma_{(مثبت بندی)}^2 \quad (نهايی)$$

$$\sigma_{H'}^2 = \sigma_H^2 + \sigma_{(نقاط زمینی)}^2 + \sigma_{(کادرگیری)}^2 \quad (نهايی)$$

$$\sigma_{H'}^2 = \sigma_H^2 + \sigma_{(کادرگیری)}^2 + \sigma_{(مثبت بندی)}^2 \quad (نهايی)$$

$$\sigma_{H'}^2 = \sigma_{(نقاط زمینی)}^2 + \sigma_{(کادرگیری)}^2 + \sigma_{(مثبت بندی)}^2 \quad (نهايی)$$

-۳ در رابطه تبدیل **Affine** با پارامترهای زیر، کدام رابطه برای محاسبه زاویه دوران از این پارامترها درست است؟

$$\begin{bmatrix} x \\ y \end{bmatrix} = \begin{bmatrix} a_1 & a_2 \\ b_1 & b_2 \end{bmatrix} \begin{bmatrix} x \\ y \end{bmatrix} + \begin{bmatrix} a_0 \\ b_0 \end{bmatrix}$$

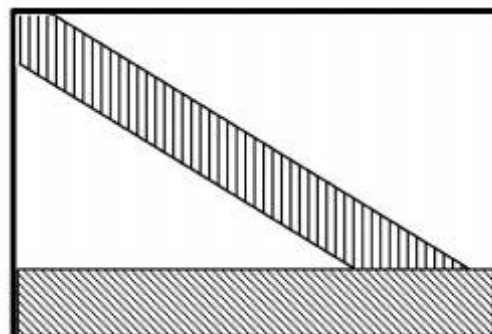
$$K = -\tan^{-1}\left(\frac{b_2}{a_2}\right) \quad (۱)$$

$$K = \tan^{-1}\left(-\frac{b_1}{a_1}\right) \quad (۲)$$

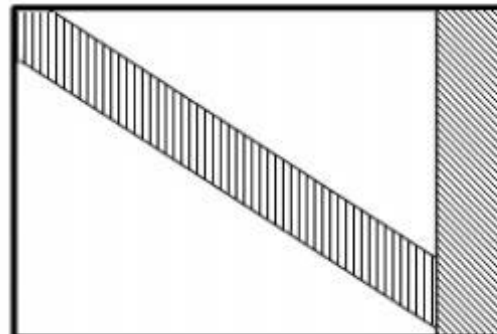
$$K = -\tan^{-1}\left(\frac{b_1}{a_2}\right) \quad (۳)$$

$$K = \tan^{-1}\left(-\frac{b_1}{a_1}\right) \quad (۴)$$

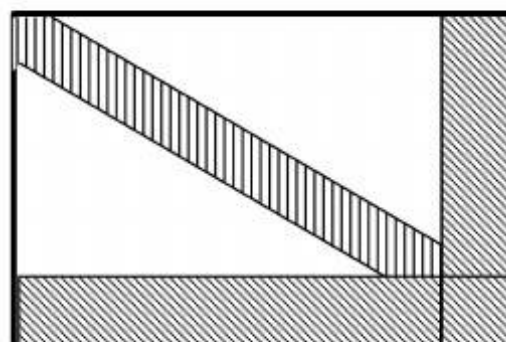
-۴ ساختار معادلات نرمال کاهش یافته (RNE) در مثلثبندی هوایی با در نظر گرفتن پارامترهای اضافی و قید به چه شکل خواهد بود؟



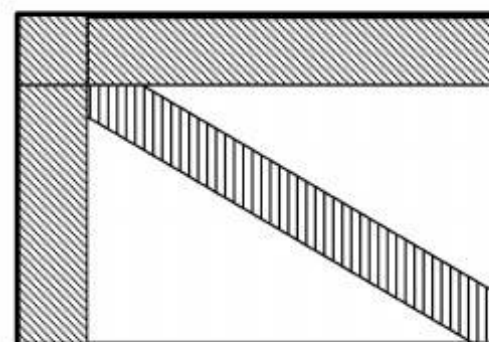
(۲)



(۱)



(۴)



(۳)

-۵ در صورتی که ابعاد یک عکس هوایی  $23^{\circ} \text{ mm} \times 23^{\circ} \text{ mm}$  باشد و مساحت منطقه‌ای که توسط این عکس در روی زمین پوشش داده می‌شود برابر  $21,16 \text{ KM}^2$  باشد. مقیاس کدام است؟

$$\frac{1}{20,000} \quad (1)$$

$$\frac{1}{40,000} \quad (2)$$

$$\frac{1}{87,000} \quad (3)$$

$$\frac{1}{92,000} \quad (4)$$

-۶ ابعاد تصویر یک دوربین رقومی  $10 \text{ سانتیمتر}$  در راستای عمود بر پرواز و  $7 \text{ سانتیمتر}$  در راستای پرواز می‌باشد. باز هوایی (بر حسب متر) و فاصله بین نوارهای تصویربرداری (بر حسب متر) برای عکس‌های با مقیاس  $1:5000$  چقدر باشد تا پوشش طولی  $80^{\circ}$  و پوشش عرضی  $30^{\circ}$  حاصل شود؟

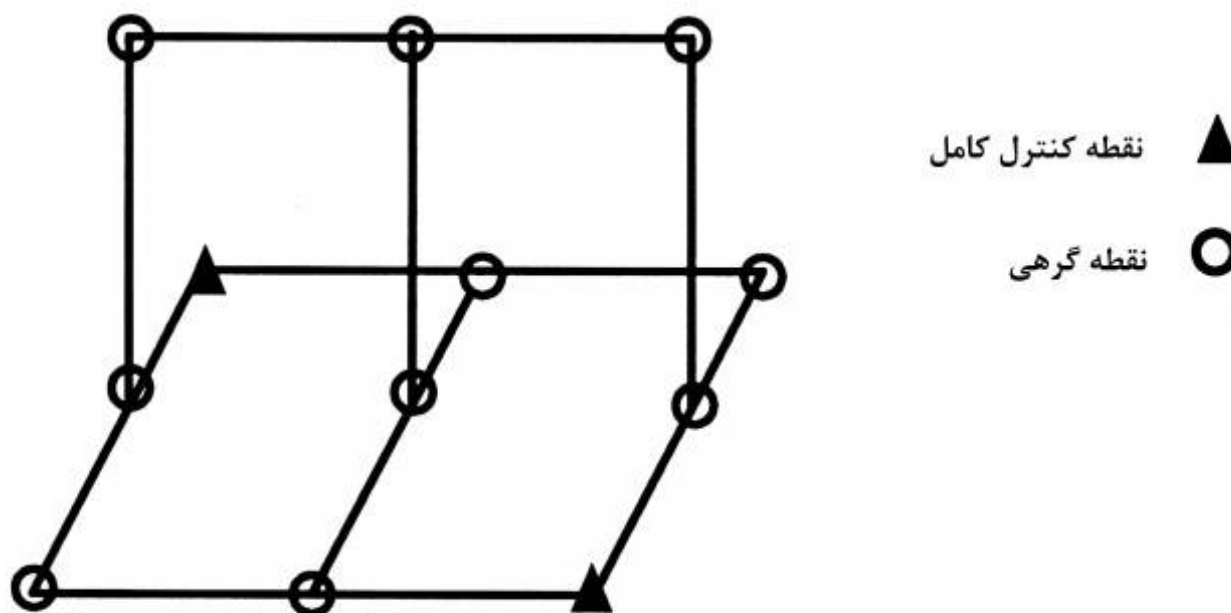
(۱) باز هوایی  $70^{\circ}$  و فاصله نوارها  $350$

(۲) باز هوایی  $350^{\circ}$  و فاصله نوارها  $70$

(۳) باز هوایی  $350^{\circ}$  و فاصله نوارها  $700$

(۴) باز هوایی  $70^{\circ}$  و فاصله نوارها  $350$

- ۷ در مورد جابجایی ناشی از اختلاف ارتفاع کدام یک از عبارات زیر درست است؟
- (۱) جابجایی ناشی از اختلاف ارتفاع نسبت به نقطه همباز (Iso-center) متقاض است.
  - (۲) با کاهش ارتفاع پرواز از سطح منطقه جابجایی ناشی از اختلاف ارتفاع افزایش می‌یابد.
  - (۳) با افزایش بلندای عوارض، جابجایی ناشی از اختلاف ارتفاع به صورت مربعی افزایش می‌یابد.
  - (۴) در گوشه‌های تصویر جابجایی ناشی از اختلاف ارتفاع قابل چشمپوشی است.
- ۸ در دو مدل متواالی شکل زیر، مختصات مراکز تصویر توسط GPS مشاهده شده است. اگر در هر مدل ۶ نقطه گرهی استاندارد اندازه‌گیری شده باشد، درجه آزادی سرشکنی، مدل مستقل چقدر است؟ (نقاط کنترل زمینی و مختصات مراکز تصویر به صورت وزن دار در نظر گرفته شوند)



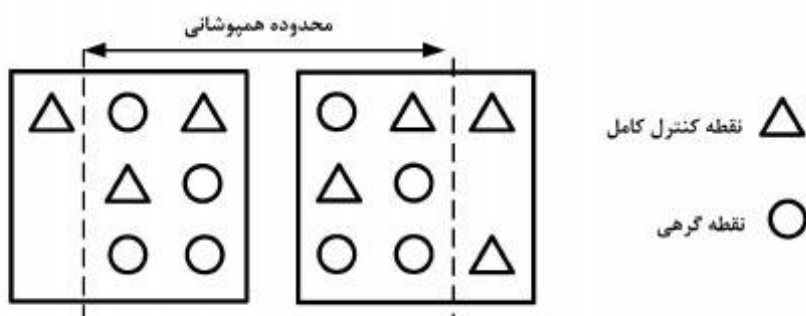
- ۷ (۱)  
۱۰ (۲)  
۱۶ (۳)  
۲۵ (۴)

- ۹ یک عکس کاملاً قائم از ارتفاع ۱۲۰۰ متری از سطح زمین با زاویه کاپای  $K = ۹۰^\circ$  اخذ شده است. اگر دقت قرائت مختصات عکسی نقاط نقاط  $\sigma_x = \sigma_y = ۱\text{ mm}$ ,  $\sigma_x = \sigma_y = ۳\text{ mm}$  باشد و مختصات مرکز تصویر با دقت بالا معلوم باشد، دقت تعیین مختصات مسطحاتی از مشاهدات این عکس بر حسب سانتی‌متر (cm) کدام است؟ (فاصله کانونی دوربین  $15^\circ$  میلی‌متر می‌باشد).

$$\begin{aligned} \sigma_x &= 8, \quad \sigma_y = 24 & (1) \\ \sigma_x &= 24, \quad \sigma_y = 8 & (2) \\ \sigma_x &= \sigma_y = 16 & (3) \\ \sigma_x &= \sigma_y = 24 & (4) \end{aligned}$$

- ۱۰- جهت استخراج اطلاعات سه بعدی از یک زوج تصویر ماهواره‌ای بزرگ مقیاس، مدل ریاضی افاین سه بعدی استفاده شده است. در صورتی که این زوج عکس  $60^\circ$  درصد هم پوشانی داشته باشند و توزیع نقاط کنترل و گرهی مطابق شکل زیر باشد، کدام عبارت درست است؟

$$\begin{cases} \text{مدل افاین} & \mathbf{r} = A_0 + A_1 X + A_2 y + A_3 Z \\ \text{سه بعدی} & \mathbf{c} = B_0 + B_1 X + B_2 y + B_3 Z \end{cases}$$



(۱) تنها امکان برآورد پارامتری مدل در تصویر سمت راست وجود دارد.

(۲) امکان برآورد پارامترهای مدل با درجه آزادی ۲ مسیر است.

(۳) مدل بدون درجه آزادی قابل حل است.

(۴) امکان حل دستگاه معادلات وجود ندارد.

- ۱۱- رابطه مربوط به مؤلفه در راستای قائم اولیه زاویه انحراف قائم کدام است؟

$R$ : شعاع کره زمین

$N(\lambda, \phi)$ : مختصات ژئودتیک نقطه

ارتفاع ژئوپید

$$-\frac{1}{R} \frac{\partial N}{\partial \phi} \quad (1)$$

$$-\frac{1}{R} \frac{\partial N}{\partial \lambda} \quad (2)$$

$$-\frac{1}{R \cos \phi} \frac{\partial N}{\partial \phi} \quad (3)$$

$$-\frac{1}{R \cos \phi} \frac{\partial N}{\partial \lambda} \quad (4)$$

- ۱۲- رابطه فشردگی جاذبی زمین کدام است؟

$\gamma_P$ : شتاب جاذبه در قطب

$\gamma_E$ : شتاب جاذبه در استوا

$$\frac{\gamma_E - \gamma_P}{\gamma_E} \quad (1)$$

$$\frac{\gamma_E - \gamma_P}{\gamma_P} \quad (2)$$

$$\frac{\gamma_P - \gamma_E}{\gamma_E} \quad (3)$$

$$\frac{\gamma_P - \gamma_E}{\gamma_P} \quad (4)$$

-۱۳ رابطه ارتفاع نرمال نقطه A در روی سطح زمین کدام است؟

$\gamma_A$ : شتاب ثقل نرمال در روی سطح بیضوی  $C_A$ : عدد ژئوپتانسیل نقطه A

A: ارتفاع هندسی نقطه A

$$\frac{C_A}{\gamma_A + 1542 H_A} \quad (1)$$

$$\frac{C_A}{\gamma_A - 1542 H_A} \quad (2)$$

$$\frac{C_A}{\gamma_A - 3086 H_A} \quad (3)$$

$$\frac{C_A}{\gamma_A - 424 H_A} \quad (4)$$

-۱۴ رابطه مربوط به فرمول اول برونز کدام است؟

p: چگالی زمین

g: شتاب ثقل واقعی زمین

G: ثابت جاذبه جهانی نیوتن

J: انحنای متوسط سطوح هم‌پتانسیل

$\omega$ : سرعت دوران زمینی

$$-2gJ + 4\pi Gp - 2\omega^2 \quad (1)$$

$$-2gJ - 4\pi Gp + 2\omega^2 \quad (2)$$

$$2gJ - 4\pi Gp - 2\omega^2 \quad (3)$$

$$2gJ + 4\pi Gp - 2\omega^2 \quad (4)$$

-۱۵ رابطه ارتباط سیستم AP و IT کدام است؟

$$\bar{e}^{AP} = R_p (+GAST) \bar{e}^{IT} \quad (1)$$

$$\bar{e}^{AP} = R_p (-GAST) \bar{e}^{IT} \quad (2)$$

$$\bar{e}^{AP} = R_p (LAST) \bar{e}^{IT} \quad (3)$$

$$\bar{e}^{AP} = R_p (-LAST) \bar{e}^{IT} \quad (4)$$

-۱۶ کدام یک از روابط زیر در مورد شعاع انحنای مقطع نصف‌النهاری (M) و مقطع قائم اولیه (N) صحیح است؟

f) فشرده‌گی، e خروج از مرکزیت، a نیم قطر اطول بیضوی دورانی و  $\phi$  عرض ژئودتیک

$$M \geq N \quad (1)$$

$$N_{Pole} > M_{Pole} \quad (2)$$

$$M_{Pole} < M_{Equator} \quad (3)$$

$$(MN)^{\frac{1}{2}} = \frac{a(1-f)}{1 - e^2 \sin^2 \phi} \quad (4)$$

-۱۷ کدام یک از عبارات زیر در مورد اثر اتووش در نقل‌سنگی صحیح است؟

- (۱) این اثر در واقع تصحیحی است که به واسطه حرکت دورانی زمین ایجاد شده و سبب تغییر شتاب ثقل مشاهده شده در نقل‌سنگی در دریاها می‌گردد.
- (۲) این اثر یک تصحیح سیستماتیک بوده که به واسطه ساختار هندسی برخی از گرادیمترها ایجاد می‌گردد.
- (۳) میزان این اثر زمانی که کشتی در امتداد نصف‌النهار حرکت می‌کند به ماکزیمم مقدار خود خواهد رسید.
- (۴) میزان این تصحیح تابعی از طول جغرافیایی نقطه مشاهده است.

-۱۸ کدام یک از جملات زیر صحیح است؟

- (۱) نیروی جزر و مد زمین یک نیروی غیر پایه‌تار می‌باشد.
  - (۲) نیروی جزر و مد سبب جابه‌جایی مرکز جرم زمین می‌گردد.
  - (۳) نیروی جزر و مد سبب تغییر در اندازه طول‌ها و زوایای مشاهده شده در سطح زمین می‌گردد.
  - (۴) نیروی جزر و مد فقط سبب تغییر در سطح آب‌های آزاد شده و خشکی‌ها را دستخوش تغییر نمی‌کند.
- ۱۹ در صورتی که  $\varphi$  و  $\lambda$  به ترتیب عرض و طول ژئودتیک و  $\varphi$  عرض ایزومتریک باشد برقراری کدام‌یک از معادلات زیر شرط لازم برای تعریف سیستم تصویر متشابه است؟

$$\frac{\partial x}{\partial q} + \frac{\partial y}{\partial q} = \frac{\partial x}{\partial \lambda} + \frac{\partial y}{\partial \lambda} \quad (1)$$

$$\frac{\partial x}{\partial q} \cdot \frac{\partial x}{\partial \lambda} + \frac{\partial y}{\partial q} \cdot \frac{\partial y}{\partial \lambda} = 0 \quad (2)$$

$$\frac{\partial x}{\partial \varphi} \cdot \frac{\partial y}{\partial \lambda} + \frac{\partial x}{\partial \lambda} \cdot \frac{\partial y}{\partial \varphi} = 0 \quad (3)$$

$$\frac{\partial x}{\partial \varphi} \cdot \frac{\partial y}{\partial \lambda} + \frac{\partial x}{\partial \lambda} \cdot \frac{\partial y}{\partial \varphi} = \frac{\partial x}{\partial q} \cdot \frac{\partial x}{\partial \lambda} + \frac{\partial y}{\partial q} \cdot \frac{\partial y}{\partial \lambda} \quad (4)$$

-۲۰ کدام یک از جملات زیر تعریف درستی از شاخص تیسوت است؟

- (۱) همان بیضی اعوجاج است که نشان‌دهنده خطای نگاشت نقاط از سطح زمین به صفحه نقشه است.
- (۲) بیانگر نسبت ابعاد بیضی خطای تصویر شده در صفحه نقشه به ابعاد بیضی خطای هر نقطه روی سطح زمین است.
- (۳) همان بیضی اعوجاج است که نشان‌دهنده تصویر یک دایره با ابعاد بینهایت کوچک از سطح زمین در صفحه نقشه است.
- (۴) بیانگر نسبت مساحت بیضی تصویر شده در صفحه نقشه به مساحت یک دایره با ابعاد بینهایت کوچک از سطح زمین است.

-۲۱ در یک سیستم تصویربردار رادار با دریچه حقیقی (RAR) قدرت تفکیک تصویر در راستای آزمیوت به چه پارامتر یا پارامترهایی بستگی دارد؟

- (۱) برد
- (۲) طول موج
- (۳) برد و طول موج
- (۴) نصف طول آنتن و طول موج

- ۲۲ در یک سیستم تصویربردار رادار با دریچه ترکیبی (SAR)، برای سه نقطه زمینی با ارتفاعات مختلف و فاصله یکسان از سنجنده رادار، این سه نقطه روی تصویر حاصل چگونه ظاهر می‌شوند؟

(۱) به صورت یک پیکسل

(۲) به صورت سه پیکسل مجزا

(۳) در راستای آزمیوت همواره روی تصویر مجزا ظاهر می‌شوند.

(۴) با توجه به ارتفاعات آنها، نحوه ظاهر شدن آنها روی تصویر متفاوت است.

- ۲۳ در یک تصویر SAR، که شامل دو ناحیه: ناحیه ۱ که گلی است و ناحیه ۲ که ماسه‌ای است. هر یک از این دو ناحیه روی تصویر حاصل چگونه ظاهر می‌شوند؟

(۱) ناحیه ۲ تاریک‌تر از ناحیه ۱ است چون زبری سطح آن کمتر است.

(۲) ناحیه ۲ روشن‌تر از ناحیه ۱ است چون زبری سطح آن بیشتر است.

(۳) ناحیه ۲ تاریک‌تر از ناحیه ۱ است چون زبری سطح آن بیشتر است.

(۴) ناحیه ۲ روشن‌تر از ناحیه ۱ است چون زبری سطح آن کمتر است.

- ۲۴ کدامیک از روابط زیر در مورد عملگرهای مورفولوژی (Morphology) درست است؟

$$\text{Thickening: } A \odot B = A \cup (A \circledast B) \quad (1)$$

$$\text{Closing: } A \cdot B = (A \ominus B) \oplus B \quad (2)$$

$$\text{Thinning: } A \otimes B = A \cap (A \circledast B) \quad (3)$$

$$\text{Boundary extraction: } B(A) = A - (A \oplus B) \quad (4)$$

- ۲۵ کدامیک از عبارات زیر نادرست است؟

(۱) مات شدگی (Blurring) فیلترهای پایین گذر می‌تواند مفید باشد.

(۲) Zero-phase-shift نام دیگر فیلترهای بالا گذری است که دارای قسمت موهومی نیستند.

(۳) فیلتر پایین گذر Butterworth با درجه بالا شبیه یک فیلتر پایین گذر Ideal عمل می‌کند.

(۴) فیلتر High frequency emphasis بر اساس یک ترکیب خطی از فیلتر بالا گذر به دست می‌آید.

- ۲۶ مقدار Kurtosis برای هیستوگرام یک تصویر تیره و با کنتراست پایین، عدد ۶ به دست آمده است. شکل هیستوگرام چگونه است؟

(۱) قله‌ای بلند با اختلاف کم بین ماکزیمم و مینیمم

(۲) متمایل به راست و با اختلاف کم بین ماکزیمم و مینیمم

(۳) متمایل به چپ و با اختلاف زیاد بین ماکزیمم و مینیمم

(۴) قله‌ای کاملاً کوتاه و تخت با اختلاف کم بین ماکزیمم و مینیمم

- ۲۷ برای بهبود کنتراست تصویر ۸ بیتی ( $f(x,y)$ ، از تابع تبدیل لگاریتمی زیر استفاده شده است:

$$g(x,y) = c \log[f(x,y) + 1]$$

برای آنکه محدوده مقادیر تصویر خروجی ( $g(x,y)$ ) قابل نمایش بر روی صفحه نمایشگر گردد، کدام مورد برای ۶ درست است؟

۱۰۰۰ (۴)

۱۰۰ (۳)

۰/۱ (۲)

۰/۰۱ (۱)

-۲۸ در تصویری با ابعاد  $M \times N$  پیکسل، رابطه فیلتر ردیاند حفره باترورث (Butterworth notch reject) از مرتبه  $n$  با شاعع  $D_0$  با مرکز فرکانسی  $(u_0, v_0)$  و  $(-u_0, -v_0)$  که در آن مرکز مستطیل فرکانس به انتقال یافته، و مقادیر  $D_1(u, v)$  و  $D_2(u, v)$  به صورت زیر تعریف شده‌اند، کدام مورد است؟

$$D_1(u, v) = \left[ (u - M/2 - u_0)^2 + (v - N/2 - v_0)^2 \right]^{1/2}$$

$$D_2(u, v) = \left[ (u - M/2 - u_0)^2 + (v - N/2 - v_0)^2 \right]^{1/2}$$

$$H_{NR}(u, v) = \frac{1}{1 - \left[ D_0^2 / D_1(u, v) D_2(u, v) \right]^n} \quad (1)$$

$$H_{NR}(u, v) = \frac{1}{1 + \left[ D_1(u, v) D_2(u, v) / D_0^2 \right]^n} \quad (2)$$

$$H_{NR}(u, v) = \frac{1}{1 - \left[ D_1(u, v) D_2(u, v) / D_0^2 \right]^n} \quad (3)$$

$$H_{NR}(u, v) = \frac{1}{1 + \left[ D_0^2 / D_1(u, v) D_2(u, v) \right]^n} \quad (4)$$

-۲۹ در کدامیک از روابط زیر،  $g_i(x)$  تابع تمایز (discriminant function) الگوریتم طبقه‌بندی حداقل فاصله

است؟  $m_i$  و  $\Sigma$  به ترتیب عبارتند از بردار میانگین کلاس  $i$  و ماتریس کوواریانس)

$$x \in w_i \quad \text{if} \quad g_i(x) > g_j(x) \quad \text{for all } j \neq i$$

$$g_i(x) = (x - m_i)^T \Sigma_i^{-1} (x - m_i) \quad (1)$$

$$x \in w_i \quad \text{if} \quad g_i(x) < g_j(x) \quad \text{for all } j \neq i$$

$$g_i(x) = (x - m_i)^T \Sigma_i^{-1} (x - m_i) \quad (2)$$

$$x \in w_i \quad \text{if} \quad g_i(x) > g_j(x) \quad \text{for all } j \neq i$$

$$g_i(x) = 2m_i \cdot x - m_i \cdot m_i$$

$$x \in w_i \quad \text{if} \quad g_i(x) > g_j(x) \quad \text{for all } j \neq i$$

$$g_i(x) = -\ln |\Sigma_i| - (x - m_i)^T \Sigma_i^{-1} (x - m_i) \quad (4)$$

-۳۰ کدام مورد از پیکسل‌های زیر جزو معیارهای اصلی در زمینه قطعه‌بندی (segmentation) موفق محسوب نمی‌شود؟

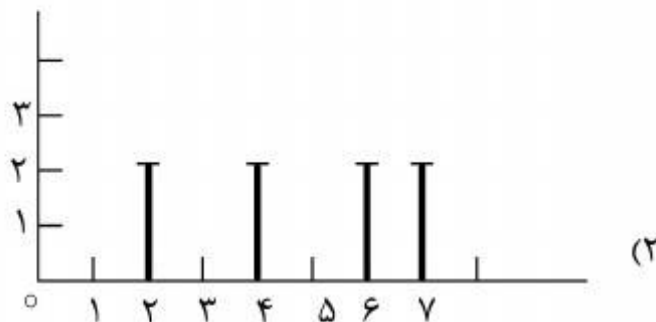
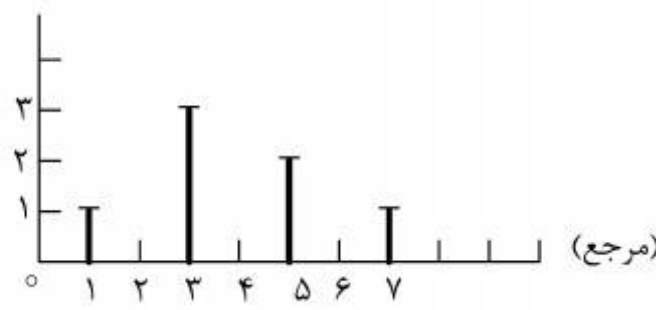
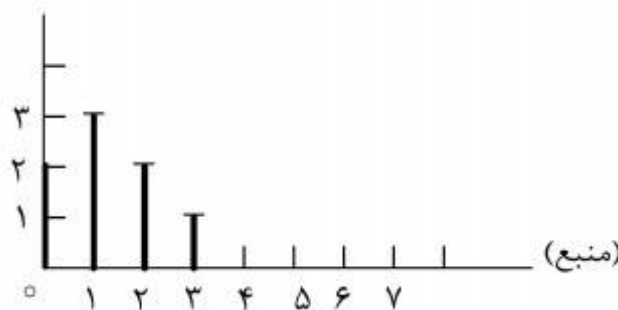
(۱) غیر مشابه در دو گروه (قطعه) دسته‌بندی می‌شوند.

(۲) مشابه در یک قطعه مجتمع می‌شوند.

(۳) در یک قطعه، مشابه هم می‌باشند.

(۴) در یک قطعه پیوستگی دارند.

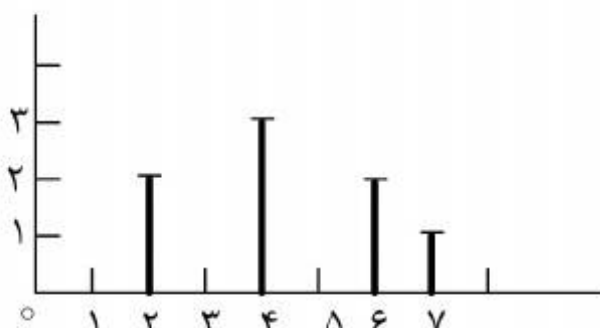
-۳۱ دو هیستوگرام زیر مربوط به دو تصویر مجزا است. با استفاده از روش تطبیق هیستوگرام (Reference) می‌خواهیم هیستوگرام تصویر منبع (source) را به هیستوگرام تصویر مرجع (matching) منطبق کنیم تا نتیجه نهایی هیستوگرام منبع بعد از عملیات چگونه است؟



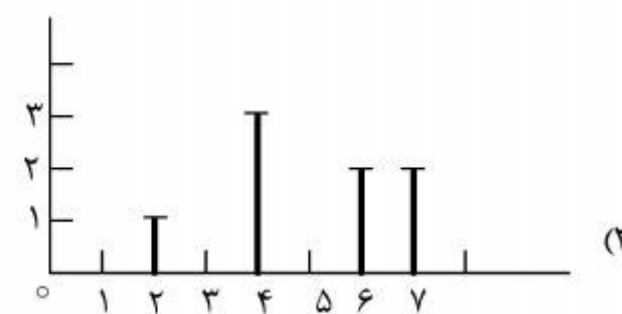
(۲)



(۱)



(۴)



(۳)

-۳۲ کدام عبارت در مورد تبدیل فوریه نادرست است؟

- (۱) تصویر شدت (magnitude) در فضای فوریه متقارن است.
- (۲) مرکز تصویر در فضای فوریه معرف مناطق هموزن در فضای تصویر است.
- (۳) عملیات پیچش (convolution) در فضای فوریه امکان‌پذیر نیست.
- (۴) اعمال فیلتر پایین‌گذر (Low pass) و بالاگذر (High pass) به صورت همزمان در فضای فوریه امکان‌پذیر است.

-۳۳ در صورتی که هدف طبقه‌بندی داده‌های سنجش از دوری با توزیع آماری نامشخص و تعداد داده‌های آموزشی محدود باشد، کدامیک از روش‌های طبقه‌بندی زیر مناسب است؟

- (۱) کمترین فاصله (minimum distance classifier)
- (۲) همسایه نزدیک (K-Nearest neighbor)
- (۳) طبقه‌بندی بیشترین احتمال (Maximum likelihood classifier)
- (۴) ماشین بردار پشتیبان (support vector machine)

-۳۴ برای اخذ اطلاعات از نواحی سایه ترجیحاً از چه باندهایی می‌توان استفاده نمود؟

- (۱) از نواحی فرابینفس تا انتهای باند مرئی
- (۲) از ابتدای باند مرئی تا ۳ میکرومتر
- (۳) از تمام نواحی طیفی واقع در  $\frac{1}{4} \text{ تا } 14 \text{ میکرومتر}$
- (۴) از باندهای حرارتی واقع در ۸ تا ۱۲ میکرومتر

- ۳۵ برای کسب اطلاعات از ساختار درونی برگ گیاهان از چه ناحیه طیفی بهتر می‌توان استفاده نمود؟

(۱) ناحیه سبز و قرمز  
(۲) ناحیه ۱/۹ تا ۲/۳ میکرومتر

(۳) ناحیه قرمز و مادون قرمز نزدیک  
(۴) نواحی مادون قرمز نزدیک تا میانی

- ۳۶ در یک آسمان صاف برای تشخیص میزان ازن فوکانی از ترکیب چه باندهایی می‌توان استفاده نمود؟

(۱) باند قرمز و باند ۱۲ میکرون  
(۲) باند ۹/۷۱ میکرومتر و باندهای ماوراء بنفس

(۳) باند فرو سرخ میانی و باند ۹/۷۱ میکرومتر  
(۴) باند ۹/۷۱ میکرومتر و باندی در ناحیه مرئی

- ۳۷ رفتار برف و ابرهای پایین (نزدیک سطح زمین) در کدام طول موج بازتابی قابل تفکیک از یکدیگر می‌باشد؟

(۱) ناحیه مرئی  
(۲) ناحیه میکروویو

(۳) در محدوده ۱/۵ میکرومتر  
(۴) ناحیه ۸ تا ۱۲ میکرومتر

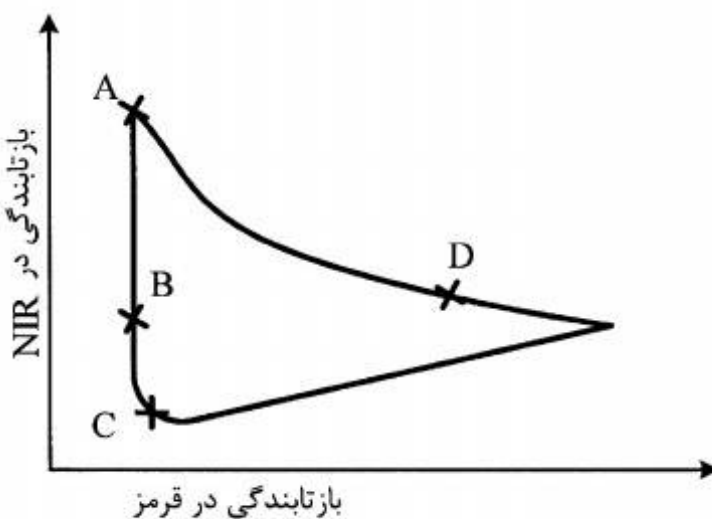
- ۳۸ در نمودار پراکنش زیر، مناطق با پوشش کم گیاهی و خاک مرطوب در کدام ناحیه قرار می‌گیرد؟

A (۱)

B (۲)

C (۳)

D (۴)



- ۳۹ از پارامتر عمق اپتیکی چه استفاده‌ای می‌توان کرد؟

(۱) اصلاح جوی تصاویر  
(۲) زمین مرجع کردن تصاویر

(۳) استخراج نوع پوشش سطح  
(۴) پالایش نویز (نویز) از تصاویر

- ۴۰ در طبقه‌بندی یک تصویر چند طیفی، در صورت استفاده از بردار ویژگی که از داده‌های باندهای طیفی اولیه،

ویژگیهای آماری مرتبه اول و ویژگی‌های بافت تشکیل شده، چه منطق طبقه‌بندی مناسب است؟

(۱) غیر پارامتریک  
(۲) غیرمتريک  
(۳) پارامتریک  
(۴) متريک

- ۴۱ رابطه محاسبه ضریب گسیل حرارت از طریق NDVI در سنجنده TM در صورتی که  $0.5 \leq NDVI \leq 0.2$  باشد،

کدام مورد درست است؟

$$\epsilon = 0.004 \left( \frac{NDVI - 0.2}{0.3} \right) + 0.986 \quad (2)$$

$$\epsilon = 0.004 \left( \frac{NDVI - 0.2}{0.3} \right) + 0.902 \quad (1)$$

$$\epsilon = 0.004 \left( \frac{NDVI - 0.2}{0.3} \right)^2 + 0.986 \quad (4)$$

$$\epsilon = 0.004 \left( \frac{NDVI - 0.2}{0.3} \right)^2 + 0.902 \quad (3)$$

- ۴۲ در یک اینترفروگرام حاصل از تصاویر سنجنده ERS-1 با طول موج ۵۶ میلیمتر، در صورتی که فاصله بین

یک نقطه بدون جایه جایی مثل A تا نقطه‌ای در مرکز جایه جایی مثل B برابر پنج فرینچ باشد. جایه جایی

نقطه B نسبت به A بر حسب میلی‌متر چقدر است؟

(۱) ۵  
(۲) ۵۶  
(۳) ۱۴۰  
(۴) ۲۸۰

- ۴۳ در صورتیکه فرکانس نمونه برداری در راستای آزمودت بر روی یک سیستم SAR تک پلاریزه  $f_g$  باشد و

اگر بخواهیم همین فرکانس نمونه برداری روی هر یک از کانال‌های پلاریزاسیون یک سیستم SAR دوپلاریزه

حفظ شود، باید فرکانس نمونه برداری .....  $f_g$  شود در حالی که عرض نوار ..... می‌شود.

(۱) حفظ - حفظ  
(۲) نصف - نصف  
(۳) دو برابر - نصف  
(۴) دو برابر - دو برابر

- ۴۴ - کدام یک از عبارات زیر درست است؟

- ۱) استفاده از روش مدلسازی فیزیکی با کمک نرمافزار MODTRAN به دلیل عدم وابستگی به تغییرات بخار آب اتمسفر کاربرد بیشتری نسبت به سایر روشها در تصحیح اتمسفری باندهای حرارتی دارد.
- ۲) به دلیل حساسیت بالای طیفی طول موج های ۳ تا ۵ میکرومتر برای تولید تصاویر حرارتی در شب نسبت به طول موج های ۸ تا ۱۴ میکرومتر مناسبترند.
- ۳) با توجه به طول موجهای باندهای تصاویر فراتصیفی (Hyperspectral) امکان تهیه نقشههای حرارتی از تصاویر این سنجندهها ممکن نیست.
- ۴) خاک مرطوب دارای ضریب گسیل (Emissivity) بالاتری نسبت به خاک خشک در محدوده میکروویو است.

- ۴۵ - کدام یک از عبارات زیر نادرست است؟

- ۱) در طول موج های بیشتر از یک متر، آب دریا دارای طول جذب بیشتری نسبت به آب خالص است.
- ۲) با افزایش طول موج، طول جذب (Absorption length) خاک خشک مقدار بیشتری نسبت به خاک مرطوب دارد.
- ۳) در تقسیم‌بندی انواع سیستم‌های سنجش از دور، ارتفاع‌سنج (Altimeter) های راداری جزء سنجنده‌های فعال (Active) در محدوده میکروویو می‌باشند.
- ۴) در تقسیم‌بندی انواع سیستم‌های سنجش از دور، لیدار (Lidar) جزء سنجنده‌های فعال (Active) در محدوده مرئی و مادون قرمز (Visible/IR) می‌باشد.